



ارزیابی تنوع ژنتیکی ژنوتیپ‌های منتخب هندوانه بذر آجیلی با استفاده از نشانگر مولکولی ریزمماهواره و صفات مورفولوژیکی

فرشته هنری^۱, سعیدرضا وصال^۲, نادعلی بابائیان جلودار^۳ و نادعلی باقری^۴

۱، ۳ و ۴- دانشآموخته کارشناسی ارشد، استاد و استادیار، دانشگاه علوم کشاورزی و منابع طبیعی ساری

۲- استادیار، دانشگاه فردوسی مشهد، (نویسنده مسؤول: vessalsr@gmail.com)

تاریخ پذیرش: ۹۴/۰۱/۲۹

چکیده

هندوانه بذر آجیلی یکی از محصولات مهم درآمدهای استان های سه گانه خراسان به شمار می‌رود که تاکنون مطالعات چندانی در مورد آن انجام نشده است. در این پژوهش تنوع ژنتیکی بین پنج ژنوتیپ منتخب هندوانه بذر آجیلی به همراه یک رقم هندوانه تجاری (کریمستان سویت) از طریق مطالعه صفات مورفولوژیکی و نیز با استفاده از ۱۰ آغازگر ریز مماهواره (SSR) مورد ارزیابی قرار گرفت. ۱۴ صفت مورفولوژیکی طی ۴۵ روز از دوره رشدی گیاه مورد ارزیابی و آنالیزهای آماری قرار گرفت. تجزیه به مؤلفه‌های اصلی براساس داده‌های مورفولوژیکی، ژنوتیپ‌ها را در سه گروه مجزا تقسیک کرد. ژنوتیپ‌های C₁ و C₁₄ در یک گروه، C₈ و SW در گروه سوم قرار گرفتند. با تکثیر DNA ژنومی بوسیله آغازگرها و الکتروفورز ممحصولات حاصل، در مجموع ۷۶ آل تولید شد که از میان آن‌ها، ۴۲ آل چند شکل بودند. میانگین تعداد آلل‌های چند شکل به ازای هر مکان ۶ نمی‌باشد که در دامنه ۲-۸ قرار داشت. محتوای اطلاعات چند شکل (PIC) نیز بین ۰/۴۶ تا ۰/۸۵ متغیر بود. آنالیز خوشای براساس الگوریتم روش چفت گروه بدون وزن با میانگین مسایی (UPGMA) و ضریب تشابه جاکارد برای داده‌های مولکولی، ژنوتیپ‌ها را در سه خوشی اصلی قرار داد. دو ژنوتیپ C₂ و C₅ هر کدام در یک خوشی مجزا ریزیکی گرفتند که گویای حداقل تفاوت ژنتیکی آن‌ها با سایر ژنوتیپ‌ها است. در این دندروگرام ژنوتیپ‌های C₈ و C₁₄ از لحاظ ژنتیکی بالایی به هم داشتند. نمودار پراکنش ژنوتیپ‌ها براساس دو معیار تشابه جاکارد و ضریب همبستگی کوفنتیک نیز وجود تفاوت ژنتیکی قابل توجه بین ژنوتیپ‌های C₂ و C₅ را با سایر ژنوتیپ‌ها تأیید کرد. در مجموع داده‌های حاصل از این آزمایش بیانگر وجود تنوع قابل ملاحظه میان این ژنوتیپ‌ها از هر دو جنبه مورفولوژیکی و مولکولی بود که برای اهداف گزینش و به نزدیک این محصول می‌تواند بسیار مهم باشد.

واژه‌های کلیدی: هندوانه بذر آجیلی، تنوع ژنتیکی، صفات مورفولوژیکی، ریز مماهواره، تشابه جاکارد، ضریب همبستگی کوفنتیک

صارف آجیلی و نیز پوست آن جهت خوارک دام کشت می‌شوند (۲). این نوع هندوانه یکی از محصولات درآمدزای دیم‌کاری‌های مناطق مختلف استان‌های سه گانه خراسان را تشکیل داده و در استان‌های جنوبی کشور نیز کشت می‌شود (۱۷). با این حال، آمار دقیقی از سطح زیر کشت این محصول در دسترس نیست.

تعیین میزان تنوع ژنتیکی در مواد گیاهی، گام اولیه برای شناسایی، حفظ و نگهداری ذخایر تواریخی و نیز پایه اساسی برای تحقیقات ژنتیکی و برنامه‌های اصلاحی است (۲۶). اطلاع از میزان تنوع ژنتیکی در پدیده هترزوسیس و تولید بذر هبیرید سیار مهم و اساسی است (۱۶). ارزیابی سنتی تفاوت‌های ژنتیکی و مدیریت ژرم‌پلاسم عموماً بر پایه توصیف‌های مورفولوژیکی بوده که علاوه بر محدودیت، تحت تأثیر محیط نیز قرار می‌گیرند. بنابراین بکارگیری روش‌های قابل اطمینان برای شناسایی و بررسی تنوع ژنتیکی ژنوتیپ‌ها به عنوان راهکار مکمل، ضروری به نظر می‌رسد (۲۷).

نشانگرهای مولکولی (DNA) یکی از ابزارهای مورد اطمینان و فارغ از تأثیرات محیطی برای ارزیابی خوشایندی ژنتیکی، انتخاب گیاهان برتر و نیز بررسی شbahat یا تفاوت بین نمونه‌های مختلف هستند (۲۵، ۱۳). در میان نشانگرهای، بعد از

مقدمه

هندوانه با نام علمی *Citrullus lanatus* گیاهی دیبلوئید (۲n=2x=۲۲) از خانواده کدوئیان (Cucurbitaceae) است (۲۰). خاستگاه آن آفریقا بوده اما با سابقه کشت و کار بسیار طولانی در کشورهای آسیایی و در سراسر جهان نیز پراکنده شده است (۵). در انواع بذر آجیلی هندوانه، بذرها بو داده و به عنوان آجیل مصرف شده و از پوست میوه برای خوارک دام استفاده می‌شود. پوست آن حتی در کشورهای آفریقایی سوریا شیرین شده و توسط انسان استفاده می‌گردد (۲۰). میزان تولید جهانی هندوانه در سال ۲۰۱۱، حدود ۱۰۲ میلیون تن بوده که بیش از نیمی از آن در آسیا تولید شده است و ایران با تولید سالانه دو میلیون تن در رتبه چهارم جهانی قرار گرفته است (۶).

بذر آجیلی هندوانه با عنوان تخمه ژانی یکی از اجزای اصلی اکثر آجیل‌ها را تشکیل می‌دهد. بسیاری از افراد، منشاء آن را به خاطر نامش ژانی می‌دانند، اما اولین بار در جاپان (روستایی در منطقه دماوند) تولید شد و وجه تسمیه آن نیز نام این روستا است. این نام بعدها جهت راحتی تلفظ به ژانی تغییر یافته است. تخمه جاپانی در واقع همان بذر هندوانه‌هایی موسوم به بذر-آجیلی است که برای استحصال بذر جهت

نشانگرهای مولکولی ریزماهواره و نیز بررسی‌های مورفولوژیکی مورد ارزیابی قرار گرفت.

مواد و روش‌ها

مواد گیاهی
در این پژوهش از پنج ژنتیپ منتخب هندوانه بذر آجیلی که طی مطالعات مورفولوژیکی قبلی (داده‌ها در حال انتشار)، از اختلافات نسبتاً پیشتری با سایر ژنتیپ‌ها برخوردار بوده‌اند، برای ارزیابی تنوع ژنتیکی از طریق مطالعه صفات مورفولوژیکی و مطالعات مولکولی با استفاده از آغازگرهای ریزماهواره استفاده شد. آزمایش در نیمه اول سال ۹۳ در مزرعه تحقیقاتی و آزمایشگاه بیوتکنولوژی پژوهشکده علوم گیاهی دانشگاه فردوسی مشهد به انجام رسید. قابل ذکر است که به دلیل بالا بودن درصد دگرگشتنی در هندوانه، این ژنتیپ‌ها برای حفظ تنوع موجود از قبیل خودگشتن شده بودند و از بذور خودگشتن شده برای ارزیابی تنوع استفاده شد. یک رقم هندوانه تجاری (کریمستانون سویت) نیز برای مقایسه تفاوت بین هندوانه‌های خوراکی و بذر آجیلی به این پنج نمونه اضافه شد.

ژنتیپ‌های منتخب در قالب طرح بلوك کامل تصادفی
با سه تکرار کشت شده و به لحاظ ویژگی‌های ظاهری طی ۴۵ روز پس از سبز شدن و برای ۱۴ صفت یادداشت برداری شدند. پارامترهای مورد مطالعه شامل طول برگ کوتیلدونی، تعداد برگ‌ها در هفته‌های مختلف، تعداد ساقه‌های اصلی و فرعی در طی گذر زمان، تعداد گل‌های نر و ماده بر روی هر کدام از ساقه‌های اصلی و فرعی، تعداد گره‌های ساقه‌های اصلی و فرعی، محل ظهر اولین گل‌ها (شماره گره) وغیره بود.

به منظور بررسی‌های مولکولی نیز تعداد ۱۵ بذر از هر یک از ژنتیپ‌های انتخابی جوانه‌دار شده و در پنج گلدان (تکرار) کشت و در شرایط گلخانه تا مرحله چهار برگی پرورش داده شدند.

استخراج DNA

استخراج DNA برای هر ژنتیپ مطابق با مطالعات قبلی (۱۳) به صورت مخلوط انجام گرفت.

بدین صورت که برای هر کدام از ژنتیپ‌ها، در مرحله ۲-۳ برگی از پنج تکرار، نمونه برگی تهیه شده و با سهم یکسان با هم مخلوط و آسیاب شدند. استخراج به DNA روش CTAB با اندکی تغییرات و با استفاده از آنزیم Rnase برای حذف RNA انجام شد.

پس از تهیین کمیت DNA استخراج شده بوسیله اسپکتروفوتومتر و نیز کیفیت آن با استفاده از ژل آگارز، غلظت آن برای استفاده در واکنش PCR در حد $25\text{ ng}/\mu\text{l}$ تنظیم شد.

تکثیر ریزماهواره‌ها

برای تکثیر مکان‌های ریز ماهواره از آغازگرهای SSR بکار رفته در مطالعه موجاجو و همکاران (۲۱) و آغازگر ASUW13 حاصل از مطالعه لوی و همکاران (۱۵) با

SNP‌ها که برای مطالعه چندشکلی‌ها بسیار هزینه بردار می‌باشد، یکی از بهترین گزینه‌ها، ریزماهواره‌ها هستند (۲۷). این نشانگرها به دلیل قابلیت تغییر در تعداد واحدهای تکراری، بسیار چندشکل بوده و به همین علت به عنوان نشانگرها مهم در نقشه یابی ژنتیکی استفاده می‌شوند (۱۲). از مزایای این نشانگر می‌توان به هم‌بارز بودن، قابلیت اعتماد بیشتر و تکرار پذیری نتایج آن اشاره کرد (۲۶).

طی سال‌های گذشته مطالعات متعدد روی هندوانه خوراکی و سایر کدوئیان برای ارزیابی سطح تنوع موجود در نقاط مختلف کشور انجام گرفته است. یکی از آن‌ها در زمینه ارزیابی تنوع ژنتیکی موجود در هندوانه‌های بومی و خوراکی کشور است که در سال ۱۳۸۵ توسط کیانی و جهانبین با رویکرد بیومتری انجام شد. در این مطالعه با جمع آوری تعداد زیادی نمونه و انعام دسته‌بندی خوش‌های بر اساس صفات مورفولوژیکی، ژنتیپ‌ها در ۸ دسته متمایز قرار گرفتند که بیانگر تنوع نسبتاً بالا بین ژنتیپ‌های مورد مطالعه بود (۱۱).

ناروئرداد و همکاران نیز با انعام مطالعه‌ای مشابه روی

توده‌های محلی هندوانه سیستان و تجزیه خوش‌های مبتتنی بر

صفات مورفولوژیکی، آنها را در چهار گروه متمایز دسته‌بندی کردند (۲۲).

البکای و همکاران (۴) هشت کولتیوار جمع‌آوری شده هندوانه از مناطق خشک تونس را بر پایه صفات مورفولوژیکی میوه ارزیابی و آنها را در دو گروه مجزا تقسیم‌بندی کردند. مؤیدی نژاد و همکاران (۱۸) با مطالعه تنوع ژنتیکی برخی از

توده‌های محلی طالبی ایرانی و خوش‌بندی آن‌ها براساس ضریب نی (۲۳)، وجود تفاوت ژنتیکی قابل توجه میان

طلالی‌های ایرانی و رقم‌های خارجی را اثبات کردند.

در مطالعه تنوع ژنتیکی ۴۵ رقم هندوانه آمریکایی بوسیله

آغازگر RAPD ۲۸۸ در باند واضح و قابل تشخیص را تکثیر

شد (۱۴).

در دو مطالعه جداگانه که برای آنالیز تنوع ژنتیکی در ژنتیپ‌های هندوانه به کمک نشانگرها ریزماهواره انجام گرفت اطلاعات حاصل از این نشانگرها برای ارزیابی تفاوت ژنتیکی بین ژنتیپ‌ها بسیار سودمند بود (۲۷، ۱۳). موجاجو و همکاران (۲۰) از نشانگرهای بارز RAPD و هم‌بارز SSR برای ارزیابی ژرم‌پلاسم هندوانه‌های آفریقایی استفاده کردند و با تلفیق اطلاعات حاصل از دو نشانگر، به اطلاعات دقیق‌تری دست یافتند. بالاتر بودن ارزش‌های بدست آمده برای نشانگرها ریز ماهواره در اغلب پارامترهای بدست آمده حاکی از کارآیی بالای این نشانگرها در ارزیابی تنوع ژنتیکی است.

از آن‌جاکه تاکنون مطالعات متعدد صورت گرفته در زمینه تنوع مورفولوژیکی و نیز آزاد سازی در رقم‌های خوراکی و تجاری هندوانه متمرکز بوده است (۲۲، ۱۸) و تحقیقات با رویکرد بهترزادی بر روی نوع بذر آجیلی هندوانه با توجه به

همیت آن بسیار اندک بوده است. لذا در این پژوهش تنوع ژنتیکی میان ژنتیپ‌های منتخب هندوانه بذر آجیلی استان‌های خراسان و تعیین قربات ژنتیکی بین آن‌ها با کمک

نتایج و بحث تنوع مورفو‌لوزیکی

در بررسی تنوع مورفو‌لوزیکی به کمک آنالیز جز اصلی، سه مؤلفه اول در مجموع ۸۰٪ درصد از تنوع کل موجود را توجیه نمود (جدول ۱). به منظور پرهیز از پیچیدگی و بروز نتایج منفی احتمالی، نمودار بای پلات برای ژنوتیپ‌های مورد مطالعه رسم شد (شکل ۱). در دیاگرام دو بعدی براساس مؤلفه اول و دوم، وکتورها مریبوط به ژنوتیپ‌ها است. براساس این نمودار ژنوتیپ‌ها در سه گروه مشخص گروه بندی شدند. بطوطی که دو ژنوتیپ C₁ و C₁₄ در یک گروه قرار گرفت، دو ژنوتیپ C₈ و SW در گروه بعدی و ژنوتیپ‌های C₂ و C₅ نیز در گروه سوم واقع شدند (شکل ۱). صفاتی که در مؤلفه اول قرار گیرند بیشترین تأثیر را در گروه بندی ژنوتیپ‌ها به لحاظ ویژگی‌ها و صفات مورفو‌لوزیکی خواهند داشت. واریانس تجمعی سه مؤلفه اصلی (اول) بیانگر میزان تغییراتی است که در میان داده‌ها قابل توجیه است که هرچه مقدار آن بالاتر باشد انجام آنالیز به مؤلفه‌های اصلی کار آمدتر بوده است (۲۱). بر این اساس در مطالعه حاضر، صفات اصلی توجیه‌کننده این تغییرات تعداد ساقه‌های فرعی در هفته ششم اندازه‌گیری و تعداد گل‌های ماده ظاهر شده روی ساقه اصلی بودند که در مؤلفه اول قرار گرفتند.

در مطالعه هو و همکاران (۸) تجزیه به مؤلفه‌ها توانست در مجموع ۷۳٪ از تغییرات کل را توجیه کند که در مقایسه با مطالعه حاضر سطح کمتری از تغییرات را توجیه کرده است. البکای و همکارانش (۴) نیز در مطالعه روی ارقام محلی جمع‌آوری شده هندوانه از مناطق خشک تونس برای بررسی تنوع صفات زراعی از روش PCA برای گروه‌بندی ژنوتیپ‌ها استفاده کردند که استفاده از این روش در این مطالعه نیز همانند پژوهش حاضر بسیار کارآمد بوده و ۷۴/۶٪ از تغییرات کل را بازگو نمود و بر اساس آن ارقام محلی آنها به دو گروه مجزا تقسیک شدند.

تنوع مولکولی

در بخش بررسی تنوع مولکولی، با انتخاب مناسب، همه ۱۰ آغازگر SSR مورد استفاده در این پژوهش با موفقیت مکان‌های ژنی ریزماهواره را در ژنوتیپ‌های مورد مطالعه تکثیر نمودند که حاکی از کارایی نشانگرهای انتخاب شده برای ژنوتیپ‌های مورد بررسی است (شکل ۴). با این حال، سه آغازگر P₁, P₇ و P₁₀ نتوانستند باند چند شکل تولید کنند و به عبارت دیگر باند متمایزی برای آنها در بین ژنوتیپ‌ها مشاهده نشد.

در شش ژنوتیپ مورد مطالعه، در مجموع ۷۶ آلل بوسیله ۱۰ آغازگر تولید شد که از میان آن‌ها، ۴۲ آلل چند شکل بودند. آغازگرهای P₁ و P₇ تنها یک باند تولید کردند که در تمام شش ژنوتیپ مورد مطالعه مشترک بود. آغازگر شماره ۱۰ (P₁₀) نیز با تولید ۱۲ باند اما مشترک میان تمام ژنوتیپ‌ها، نتوانست علی‌رغم تولید آلل‌های متعدد، در بررسی تنوع میان ژنوتیپ‌های مورد نظر مفید باشد.

بیشترین میزان چند شکلی مطابق با جدول ۲ برای ارزیابی تنوع استفاده شد. سنتر آغازگرها توسط شرکت ماکروژن کره جنوبی^۱ و به سفارش شرکت دنازیست^۲، واقع در دانشگاه فردوسی مشهد انجام شد.

انجام واکنش PCR

واکنش PCR با حجم ۱۰ میکرولیتر طبق توصیه موجاجو و همکاران (۲۰) و با اندکی تغییرات شامل ۵ میکرولیتر مستر میکس رد ساخت شرکت آمپلیکون، ۲ میکرولیتر نمونه DNA با غلظت ۲۵ نانوگرم بر میکرولیتر، ۰/۳ میکرولیتر از هر یک از آغازگرهای پیش رو و برگردان و ۲/۴ میکرولیتر آب بدون نوکلئاز^۳ صورت گرفت. و اسرشته سازی اولیه در دمای ۹۴°C به مدت ۴ دقیقه و پس از آن ۳۵ چرخه شامل ۹۴°C به مدت ۳۰ ثانیه، اتصال در دمای مناسب برای هر جفت آغازگر به مدت ۳۰ ثانیه (جدول ۲)، بسط در دمای ۷۲°C به مدت ۳۰ ثانیه و در پایان چرخه‌ها، بسط نهایی در دمای ۷۲°C به مدت ۷ دقیقه انجام گرفت.

الکتروفورز محصولات PCR

محصولات PCR طبق توصیه موجاجو و همکاران (۱۸) در ژل آگارز ۲٪ به مدت ۲ ساعت با شدت جریان ۸۰ میلی آمپر الکتروفورز شدند. در هر چاهک به میزان ۵ میکرولیتر از محصول PCR به همراه ۳ میکرولیتر گرین ویور ۰/۵ درصد بکار رفت.

تجزیه و تحلیل داده‌های مورفو‌لوزیکی

تجزیه واریانس برای شش صفت از مجموع ۱۴ صفت در سطح احتمال یک و پنج درصد معنی دار شد که این موضوع بیانگر وجود اختلاف معنی دار میان ژنوتیپ‌ها به لحاظ ظاهری است. آنالیز تجزیه به مؤلفه‌های اصلی (PCA) به کمک نرم‌افزار Minitab ver.16 براساس صفات دارای تنوع در جدول تجزیه واریانس انجام و ژنوتیپ‌ها از طریق نمودار بای پلات دسته‌بندی شدند (شکل ۱).

تجزیه و تحلیل داده‌های مولکولی

به منظور شمارش باندهای مربوط به هر نشانگر، شماره‌گذاری از بالاترین و سینگین ترین باند به سمت پایین و سبکترین باند انجام شد (۲۰). پس از شماره‌گذاری باندها، امتیازدهی به آن‌ها براساس حضور باند (یک) و عدم حضور باند (صفراً) صورت گرفت و داده‌های حاصل به وسیله نرم‌افزار NTSYS ver.2.02 مورد آنالیز قرار گرفت. براساس محاسبات، ضریب تشابه جاکارد و الگوریتم UPGMA به عنوان سازگارترین ضریب تشابه و الگوریتم خوشبندی تعیین شد.

محتوای اطلاعات چند شکلی یا شاخص تنوع PIC برای هر جفت آغازگر بوسیله فرمول $Pi^2 = 1 - \frac{Pi}{n}$ محاسبه شد. در این فرمول Pi فراوانی آلل‌نام در یک مکان ریزماهواره است که برای n آلل بسط داده می‌شود. درصد چند شکلی ژنوتیپ‌ها با استفاده از فرمول PL = (PA/TA) × 100 درصد چندشکلی، PA تعداد آلل‌های چند شکل و TA تعداد کل آلل‌های مشاهده شده برای هر ژنوتیپ است (جدول ۳).

جدول ۱- نتایج آنالیز تجزیه به مؤلفه‌های اصلی (PCA)

واریانس تجمعی	واریانس نسبی	مقدار ویژه	مؤلفه‌ها
.۰۴۰	.۰۴۰	.۲۷۴	۱
.۰۶۴	.۰۲۴	.۱۷۶	۲
.۰۸۰	.۰۱۵	.۱۰۳	۳

(۰/۰۸۵) بود و کمترین میزان برای P_9 (۰/۰۴۶) مشاهده شد. میانگین محتوای اطلاعات چند شکل بین هفت آغازگر، ۰/۷۲ بدست آمد. در شش مورد محتوای اطلاعات چند شکل بزرگتر از ۰/۵ بود (P_{10}) که این نشانگرها، جزو موارد مطلوب برای ژنتیک‌های مورد مطالعه دسته‌بندی شدند (۱۳). در مطالعه موجود و همکاران (۲۰)، بالاترین میزان PIC (۰/۰۹۷) در بین آغازگرها، مربوط به آغازگر P_9 در این پژوهش بود، در صورتی که در بررسی حاضر، این نشانگر کمترین میزان PIC (۰/۰۴۶) را به خود اختصاص داد که نشان‌دهنده وجود تفاوت ژنتیکی قابل ملاحظه بین ژنتیک‌های مطالعه شده در دو پژوهش است.

رسم ماتریس تشابه جاکارد بوسیله نرم‌افزار NTSYS ver.2.02 برای ژنتیک‌های مورد مطالعه نشان داد که بیشترین میزان شباهت و نزدیکی بین ژنتیک‌های C_{14} و C_8 (۰/۰۶۹) و کمترین میزان شباهت بین ژنتیک‌های C_1 و C_2 (۰/۰۱۷) وجود داشت. رقم هندوانه کریستون سویت نیز کمترین شباهت را با C_5 (۰/۰۱۱) و بیشترین شباهت و نزدیکی را با ژنتیک C_8 (۰/۰۵۰) نشان داد.

میانگین تعداد آلل‌های چند شکل در سایر آغازگرها، شش باند و در دامنه ۲-۸ آلل متغیر بود. محتوای اطلاعات چند شکل (PIC) آغازگرها که تابعی از تعداد و فراوانی آلل است (۱۲) در دامنه ۰/۸۵-۰/۰۴۶ قرار گرفت. در مطالعه ژانگ و همکاران (۲۶) که برای آنالیز تنوع ژنتیکی هندوانه از ۲۳ مارکر ریزماهواره استفاده شده بود، نیز میانگین تعداد آلل‌های چند شکل در دامنه ۲-۷ آلل قرار داشت و محتوای اطلاعات چند شکل از ۰/۴۵ تا ۰/۰۸۲ متغیر بود. همچنین در پژوهش موجود و همکاران (۲۰) که ۹۰٪ آغازگرها این پژوهش نیز از این منبع انتخاب شد، محتوای اطلاعات چند شکل در دامنه ۰/۰۹۷-۰/۰۳۹ قرار گرفت که نتایج هر دو پژوهش به نتایج بررسی حاضر بسیار نزدیک است که می‌تواند تأییدی بر کارایی نشانگرها توصیه شده برای ارزیابی میزان تنوع ژنتیک‌های هندوانه در نقاط مختلف جهان می‌باشد. به دلیل تأیید مجدد این نشانگرها در مطالعه حاضر، به نظر می‌رسد که بتوان از این نشانگرها در برنامه‌های اصلاحی هندوانه برای گزینش غیرمستقیم به منظور بهبود و اصلاح صفات استفاده نمود (۷). بالاترین میزان PIC مشاهده شده مربوط به P_3 در این پژوهش است.

جدول ۲- مشخصات آغازگرها مورد استفاده

نام آغازگر	توالی آغازگر	موتیف SSR	دماز اتصال	مشاهده شده	تعداد آلل‌های چند شکل	محتوای اطلاعات (PIC)
P2-F	AAGGCTGCAGAGACCATGAC	(AAG) ₅	۵۰	۵	.۰۷۱	
P2-R	GAACCGGCAAGAGTAGTAA	(ATC) ₈			.۰۸۵	
P3-F	AATGTTAACGAGTAACGACATGG	(AAG) ₉	۵۶	۸		.۰۷۶
P3-R	GTTAAGTGGAAAGAGGCCACA	(TG) ₈			.۰۸۲	
P4-F	GCATAAACCACCTGTGAGTGG	(AAG) ₉	۵۵	۷		.۰۸۵
P4-R	CTTACTTTGCGTTTCGTA	N_{69} (AT) ₂₆			.۰۶۵	
P5-F	GGAGTAGTGGTGGAGACATGG	(AAT) ₉	۵۰	۹		.۰۷۸
P5-R	CTTCAAACGCTTCTCTTCCT	(AG) ₂₅			.۰۶۵	
P6-F	AATCTCCCCATGCCAAAAC	(AAT) ₁₅	۵۲	۸		.۰۴۶
P6-R	CTTCCCTCCAAACCTTCAG				.۰۷۶	
P8-F	TTCCTGTTTCATGATTCTCAC		۵۵	۷		.۰۷۸
P8-R	GTTCATTACCGAGGTAAGACT				.۰۷۸	
P9-F	TCAAATCCAACCAAATTGTC				.۰۴۶	
P9-R	GCAACCACATACAAAGGAAGAG				.۰۷۶	

جدول ۳- درصد چند شکلی ژنتیک‌ها

Table 3. Polymorphic percentage of the genotypes

ژنتیک	کل آلل‌های مشاهده شده (%)	آل‌های چند شکل (%)	چند شکل (%)
۵۹	۴۶	۴۸	۳۱
۳۴	۲۰	۲۳	۷
۵۷	۴۳	۴۷	۲۲

*: تعداد کل آلل‌های حاصل برای هر ژنتیک بوسیله ۱۰ آغازگر مورد استفاده

در گروه‌بندی ژنتیک‌ها با استفاده از نرم‌افزار NTSYS ver.2.02 و براساس الگوریتم UPGMA و ضریب تشابه جاکارد (شکل ۲) ژنتیک‌ها در سه گروه قرار گرفتند. گروه اول و دوم به صورت تک شاخه و به ترتیب شامل ژنتیک‌های C_5 و C_2 بود. اما گروه سوم ابتدا به دو زیر شاخه a و b تقسیم شد. زیر شاخه a نیز به ژنتیک SW ختم شد، اما زیر شاخه b

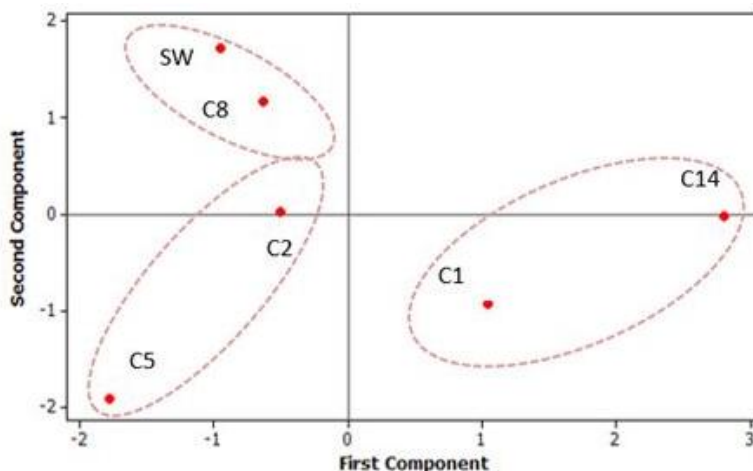
درصد چندشکلی رقم هندوانه کریستون سویت (SW) بوسیله آغازگرها مورد استفاده بیشتر از سایر ژنتیک‌ها (۵۷٪) بوده است. که می‌تواند به دلیل طراحی اولیه این پرایمرها برای ژنتیک‌های هندوانه شیرین باشد (۹). با این حال، این آغازگرها در بررسی تنوع ژنتیک‌های بذر آجیلی در این آزمایش نیز بسیار کارآمد عمل کردند.

مشخص در سمت راست و بالاتری قرار گیرند میزان خویشاوندی ژنوتیپ‌ها و تشابه ژنتیکی آن‌ها افزایش می‌یابد. بنابراین دو ژنوتیپ C₈ و C₁₄ که در نقطه انتهایی و بالایی دو محور قرار گرفته‌اند بیشترین میزان تشابه ژنتیکی را با هم داشته‌اند. همان طور که در شکل ۳ مشخص شده است، ضریب همیستگی کلیه ژنوتیپ‌ها با ژنوتیپ C₅، کمترین مقدار و برابر با ۰/۱۹ بوده است. به عبارت دیگر، تمام ژنوتیپ‌ها کمترین میزان همیستگی ژنتیکی را نسبت به ژنوتیپ C₅ داشته‌اند که این موضوع نشان‌دهنده اختلاف ژنتیکی زیاد C₅ با سایر ژنوتیپ‌های مورد مطالعه است. علاوه بر ژنوتیپ C₅، قرارگیری نقاط مقایسه‌ای ژنوتیپ C₂ با دیگر ژنوتیپ‌ها در قسمت‌های پایینی و چپ شکل ۲، نیز حاکی از تفاوت بیشتر و همیستگی ژنتیکی کم این ژنوتیپ با سایر ژنوتیپ‌ها می‌باشد و تأیید مجدد بر صحبت نتایج دندروگرام خویشاوندی رسم شده برای ژنوتیپ‌های مورد بررسی است.

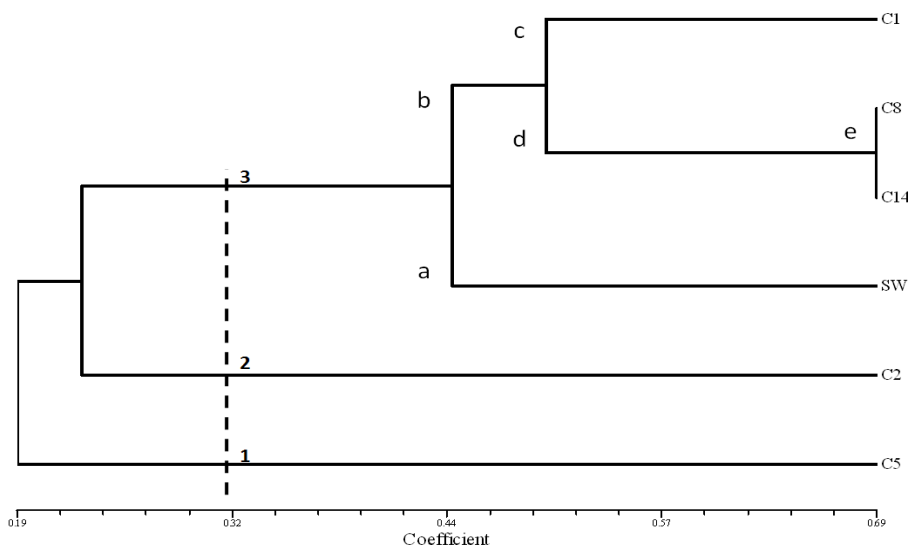
براساس مطالعه فوق، بین نتایج حاصل از بررسی‌های شbahat‌هایی و مولکولی تفاوت‌ها و شbahat‌هایی مشاهده شد که در بسیاری منابع وجود تفاوت‌ها به دلیل تأثیر عوامل محیطی روی فتوتیپ گیاهان عنوان شده است. از جمله شbahat‌هایی بین نتایج دو روش می‌توان به قربات دو ژنوتیپ C₈ و SW، شbahat بالای ژنوتیپ‌های C₁ و C₁₄ و همچنین فاصله زیاد ژنوتیپ C₅ از سایر ژنوتیپ‌ها اشاره کرد. بطور کلی نتایج حاصل از این مطالعه، نه تنها مانند مطالعات مشابه انجام شده قبلی (۲۰۱۰، ۲۷۲۰) بر کارایی نشانگرهای ریزماهواره در ارزیابی سطح تنوع ژنتیکی تأکید کرد، بلکه وجود تنوع ژنتیکی بین ژنوتیپ‌های مورد مطالعه را از لحاظ مورفو‌لوزیکی و نیز مولکولی که متنخسی از ژرم پلاسم این گیاه در استان‌های سه گانه خراسان هستند، به اثبات رسانید. به این ترتیب با مطالعات بیشتر و انتخاب ژنوتیپ‌های برتر می‌توان زمینه تلاقی مؤثر و با هتروزیس بالا جهت تولید و معرفی واریته‌های اصلاح شده این محصول مهم تجاری را فراهم کرد.

مجدداً به دو بخش تفکیک شد و بخش ۳ به ژنوتیپ C₁ متنهی شد. در نهایت زیر شاخه d به یک خط عمودی که دو ژنوتیپ C₈ و C₁₄ را در بر می‌گرفت، متصل گردید. بنابراین براساس نتایج ضرایب تشابه بین ژنوتیپ‌ها و دندروگرام تجزیه خوشه‌ای حاصل، می‌توان توجه گرفت که ژنوتیپ‌های C₂ و C₅ حداقل تفاوت ژنتیکی را با ژنوتیپ‌های مورد بررسی پا توجه به داده مولکولی داشته‌اند که در گروه‌های کاملاً مجزا با سایر ژنوتیپ‌ها قرار گرفته‌اند. در خوش سوم روابط بین ژنوتیپ‌ها نزدیکتر و زنجیره‌ای شده است که این موضوع حاکی از قربات بیشتر این چهار ژنوتیپ نسبت به یکدیگر در مقایسه با سایر ژنوتیپ‌ها است. به طوری که دو ژنوتیپ C₈ و C₁₄ از لحاظ ژنتیکی بسیار نزدیک به هم تشخیص داده شد و هر دو با ژنوتیپ C₁ خویشاوندی نزدیکی نشان دادند (شکل ۲). در زیر شاخه بعدی این سه ژنوتیپ (C₁، C₈ و C₁₄) با رقم هندوانه شیرین کریمستان سویت ارتباط یافته‌اند که نشان دهنده قربات کلی آنها با یکدیگر است.

در اغلب مطالعاتی که تاکنون روی ژرم پلاسم هندوانه انجام شده است، سطح تنوع مولکولی بین ژنوتیپ‌های هندوانه پایین گزارش شده است (۱۳، ۲۰). اما در پژوهش حاضر دو ژنوتیپ C₅ و C₂ به طور مجزا در شاخه‌هایی جداگانه قرار گرفته‌اند که این موضوع بیانگر تفاوت ژنتیکی قابل توجه آنها با سایر ژنوتیپ‌های مورد مطالعه است. این تفاوت در سطح مورفو‌لوزیکی بوته و بیوه، قیلاً در مزرعه نیز به وضوح دیده شد (داده‌ها در حال انتشار). لذا از نظر به نژادی یک مزیت مهم بوده و امکان گزینش را افزایش می‌دهد. برای مطالعه جزئی تر برآکنش ژنوتیپ‌ها به لحاظ ژنتیکی، از آزمون مانتل که اساس آن مقایسه دوتایی ژنوتیپ‌ها براساس دو معیار تشابه جاکارد و ضریب همیستگی کوختیک است، استفاده گردید (۱۹). نمودار حاصل میزان قربات و خویشاوندی (شکل ۳). به طوری که هرچه نقاط مقایسه‌ای بین دو ژنوتیپ

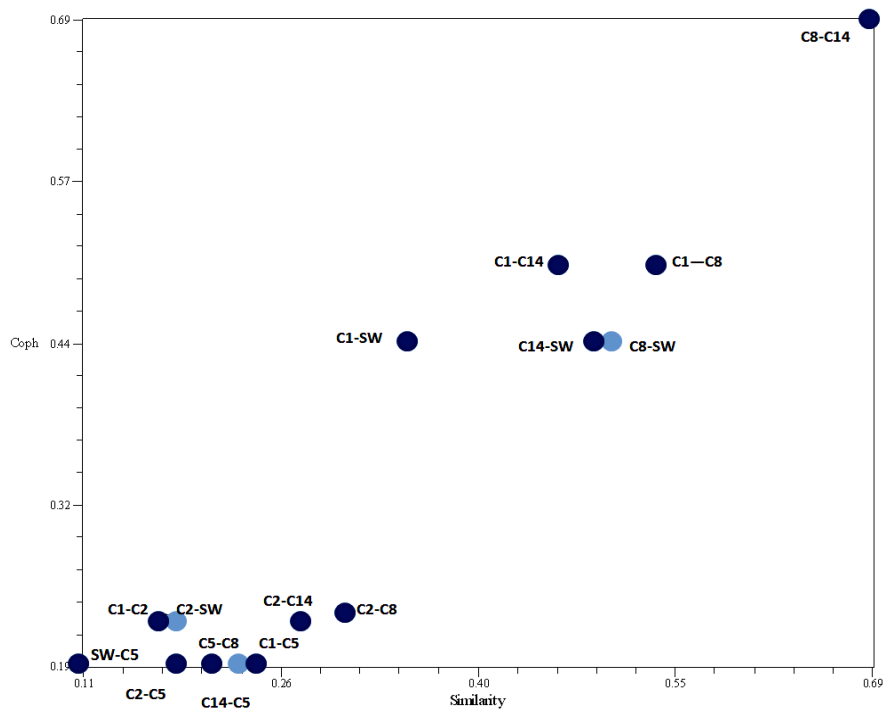


شکل ۱- نمودار بای پلات براساس دو مؤلفه اصلی اول
Figure 1. The biplot diagram based on the first two main components



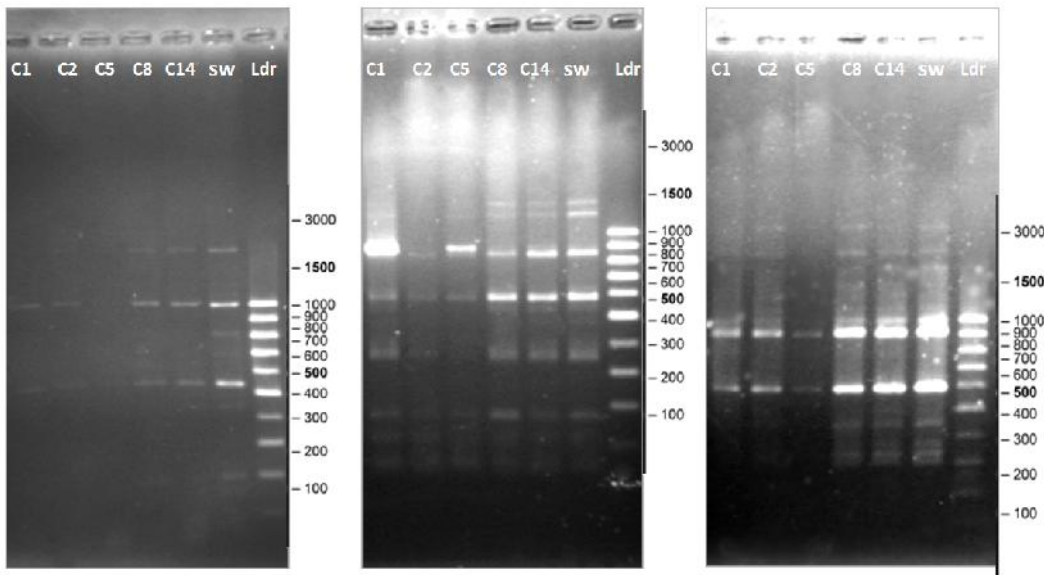
شکل ۲- نمودار تنوع ژنتیکی براساس الگوریتم UPGMA و نیز ضریب تشابه جاکارد. برش نمودار از محل میانگین ضریب تشابه جاکارد صورت گرفته است (۱).

Figure 2. The genetic variation dendrogram based on the UPGMA algorithm and Jaccard's similarity coefficient. The cut-off in the dendrogram is based on the average Jaccard similarity coefficient (1)



شکل ۳- نمودار پراکنش ژنوتیپ‌ها براساس آزمون مانتل. نقاط معرف مقایسات دوتایی بین ژنوتیپ‌ها براساس دو معیار تشابه جاکارد و ضریب همبستگی کوفتیک است.

Figure 3. Distribution patterns of the genotypes based on Mantel test. The dots representing binary comparisons between genotypes are based on Jaccard's similarity and cophenetic correlation coefficients



شکل ۴- مکان های تکثیر شده بوسیله برخی از پرایمرهای (P₃, P₅ و P₈) به ترتیب از سمت راست به چپ)
Figure 4. DNA fragments amplified by some primers (P₃, P₅ and P₈ from right to left, respectively)

منابع

1. Abedinpour, H. 2013. The study of genetic diversity and relationships among a number of local citrus genotypes using phenotypic traits and molecular. M.Sc. Thesis of Agricultural Biotechnology, Sari Agricultural Sciences and Natural Resources University, Sari, Iran. 75 pp (In Persian).
2. Anonymous. 2014. News-Analysis of Industry Nuts. <http://nutsnews.ir>. (In Persian).
3. Botstein, D., R.L. White, M. Skolnick and R.W. Davis. 1980. Construction of genetic linkage map in man using RFLP. American Journal of Human Genetics, 32: 314-331.
4. Elebekkay, M., L. Laarayedh, R. Lamari, H. Hamidi and A. Ferchichi. 2009. Characterization of several local cultivars of Watermelon collected from arid region in Tunisia. Journal of Arid Land Studies, 19: 205-208.
5. Erhiehie, E.O. and N.E. Ekene. 2013. Medicinal values on *Citrullus lanatus* (watermelon): Pharmacological review. International Journal of Research in Pharmaceutical and Biomedical Sciences, 4: 1305-1312.
6. FAO. 2011. FAOSTAT. <http://faostat.fao.org/site/339/default.aspx>.
7. Gougerdchi, V., S. Dezhsetan, M. Izadi Dogonchi, M.A. Ebrahimi, A. Asghari and B. Sadeghzadeh. 2017. Assessment of Genetic Diversity and Association Analysis for Phonological Traits Related to Drought Escape in Barley Lines using Microsatellite Markers. Journal of Crop Breeding, 8: 69-60 (In Persian).
8. Huh, Y.C., I. Solmaz and N. Sari. 2008. Morphological characterization of Korean and Turkish Watermelon germplasm. Preceding of IX the EUCARPIA meeting on genetics and breeding of Cucurbitaceae, (France), May 21-24.
9. Joober, T., G. Gusmini, X. Zhang, A. Levi, Y. Xu, T.C. Wehner, M. Oliver and R.A. Dean. 2006. Construction of a watermelon BAC library and identification of SSRs anchored to melon or *Arabidopsis* genomes. Theoretical Applied Genetics, 112: 1553-1562.
10. Katzir, N., Y. Tzuri, G. Karchi, Z. Lavi and U. Cregan. 1996. Length polymorphism and homologies of microsatellites in several *Cucurbitaceae* species. Theoretical and Applied Genetics, 93: 1282-1290.
11. Kiani, M and GH, Jahانبین. 2006. Assessment of genetic diversity in native population's watermelon in Iran. Iranian Journal of Agricultural Research, 4: 1-16 (In Persian).
12. Khoramipor S., M. Dehdari and R. Amiri Fahlian. 2017. Study of Genetic Diversity in Sorghum (*Sorghum Bicolor* L.) Genotypes using Microsatellite Markers Journal of Crop Breeding, 8: 123-116 (In Persian).
13. Kwon, Y., Y. Oh, S. Yi, H. Kim, J. An, S. Yang, S. Ok and J. Shin. 2010. Informative SSR markers for commercial variety discrimination in watermelon (*Citrullus lanatus*). Genes & Genomics, 32: 115-122.
14. Levi, A., C. Thomas, A.P. Keinath and T.C. Wehner. 2001. Genetic diversity among watermelon (*Citrullus lanatus* and *Citrullus colocynthis*) accessions. Genetic Resource and Crop Evolution, 48: 559-566.
15. Levi, A., C.E. Thomas, T. Trebush, A. Salmon, J. Karalius, M. Newman, O.U.K. Reddy, Y. Xu and X. Zhang. 2006. An extended linkage map for watermelon based on SRAP, AFLP, ISSR and RAPD markers. Journal of the American Society for Horticultural Science, 131: 393-402.
16. Liliya, K. 2000. Organization of plant genetic resources in Bulgaria Acta Horticulturae, 510: 247-250.

- ۲۱
17. Mirkazemi, F. 2012. Technical Publication of Watermelon, 1:1-12 (In Persian).
 18. Moaiedi nejad, A., A. Ershadi, J. Abas kohpaigani and F. Dashti. 2010. Genetic diversity among iranian cantaloupe landraces (*cucumis melo* L.) using microsatellite markers. Agricultural Biotechnology, 9: 42-52 (In Persian).
 19. Mohammadi, M. 2003. Molecular analysis of data from the perspective of genetic variation. 9th Iranian Crop Sciences Congress. Iran- Tehran (In Persian).
 20. Mujaju, C., J. Sehic, G. Werlemark, L.Garkava-Gustavsson and M. Fatih. 2010. Genetic diversity in watermelon (*Citrullus lanatus*) landraces from Zimbabwe revealed by RAPD and SSR markers. Hereditats, 147: 142-153.
 21. Nabipour, A. and A. Nasr Ala Nejad Ghomi. 2014. Guide research in the life sciences (First Edition). Gorgan University of Agricultural Sciences and Natural Resources, 186 pp (In Persian).
 22. Naroei, M., M. Allah do, A. GHasemi and H. Fanaei. 2009. Investigation of Genetic Diversity and Broad Sense Heritability in Watermelon Accessions of Sistan. Iranian Horticultural Science, 40: 95-103 (In Persian).
 23. Nei, M. and W.H. Li. 1979. Mathematical model for studying genetic variation in terms of restriction endonucleases Proc. Natl. Acad. Sci. USA, 76: 5269-5273.
 24. Semagn, K., A. Bjørnstad and M.N. Ndjiondjop. 2006. An overview of molecular marker methods for plants. African Journal of Biotechnology, 5: 2540-2568.
 25. Shi, W., C.F. Yang, J.M. Chen and Y.H. Gou. 2008. Genetic variation among wild and cultivated populations of the Chinese medicinal plant *Coptis Chinesis* (Ranunculaceae). Plant Biology, 10: 485-491.
 26. Uzan, A. and T. Yesiloglu. 2012. Genetic diversity in Citrus. In: Genetic Diversity in Plants, Caliskan,M. (Ed.), In Tech, pp: 213-231.
 27. Zhang, H., H. Wang and Sh. Guo. 2012. Indentification and validation of a core set of microsatellite markers for genetic diversity analysis in watermelon, *Citrullus lanatus* Thunb. Matsum. & Nakai. Euphytica, 186: 329-342.

Assessment of Genetic Diversity for some Candidate Edible Seed Watermelon Genotypes using SSR Markers and Morphological Traits

Fereshteh Honari¹, Saeid Vessal², Nad Ali Babaean Jelodar³ and Nad ali Bagheri⁴

1, 3 and 4- Gradated M.Sc. Student, Professor and Assistant Professor, Sari Agricultural sciences and Natural Resources University

2- Assistant Professor, Ferdowsi University of Mashhad, (Corresponding author: vessalsr@gmail.com)

Received: November 20, 2014

Accepted: December 22, 2015

Abstract

Edible seed watermelon is a cash crop in rain-fed condition in Khorasan provinces, with little research paid to it yet. In this study, genetic variation was evaluated among five candidate genotypes of edible seed watermelon, along with one commercial cultivar (Crimson Sweet) using 10 microsatellite primers (SSR) as well as morphological studies. 14 morphological traits were evaluated and analyzed during 45 days of early plant growth. Principal Components Analysis on morphological data could separate the genotypes into three distinct groups, including C₁ and C₁₄ genotypes in one group, C₈ and SW in the next and C₂ and C₅ in the third one. For molecular analysis, genomic DNA was extracted and amplified further by the primers, followed by electrophoresis of the products. A total of 76 clear alleles were produced, of which 42 were polymorphic alleles. Average number of polymorphic alleles per locus was 6, ranging from 2 to 8. Polymorphic information content (PIC) varied within 0.46 to 0.85. Cluster analysis based on Jaccard's similarity coefficient and Unweighted Pair Group Method with Arithmetic Mean (UPGMA) algorithm classified the genotypes into three main clusters. C₂ and C₅ genotypes placed separately in different cluster that represents high genetic distance from the other genotypes. In this dendrogram, a very close genetic relationship was found between C₈ and C₁₄ genotypes. The scatter plot of genotypes based on Jaccard's correlation coefficient and Cophenetic correlation also confirmed a significant genetic difference between both C₂ and C₅ genotypes compared with other genotypes. The data from this experiment suggested a considerable diversity in terms of morphological and molecular aspects among the genotypes, which is very crucial for selection and breeding purposes in this crop.

Keywords: Cophenetic Correlations, Edible seed watermelon, Genetic diversity, Jaccard's similarity coefficient, Microsatellite, Morphological traits